

# ВЫХОД ФРАГМЕНТОВ ${}^8\text{Be}$ ПРИ ФРАГМЕНТАЦИИ ${}^{10}\text{B}$ С ЭНЕРГИЕЙ 1 ГэВ НА НУКЛОН В ЭМУЛЬСИИ

© 2004, Ф. Г. Лепехин, Б. Б. Симонов

Петербургский институт ядерной физики им. Б. П Константинова РАН  
Гатчина, Россия

Показано, что оценка доли канала  ${}^{10}\text{B} \rightarrow {}^8\text{Be} \rightarrow 2\alpha$  составляет  $18 \pm 3\%$ , а константы распределения углов  $\alpha$ -частиц и углов между ними, равные  $20.5 \pm 0.7$  и  $31.7 \pm 2.0$  мрд, соответственно, согласуются с расчетами этих величин, сделанными до эксперимента на основе существующих представлений о предельной фрагментации релятивистских ядер.

## 1. ВВЕДЕНИЕ

Ядерные фотоэмulsionии, облучаемые на нуклонроне ЛВЭ ОИЯИ различными легкими ядрами, позволяют исследовать кластерную структуру этих ядер [1–3]. Данная работа, выполняемая в рамках сотрудничества BECQUEREL, имела своей целью получить количественные характеристики процесса образования  $\alpha$ -кластеров в ядре  ${}^{10}\text{B}$ .

Эмульсионная камера, облученная ионами  ${}^{10}\text{B}$  с энергией 10 ГэВ, как нельзя лучше подходит для этой цели. Сравнительно небольшой импульс первичной частицы приводит к тому, что углы вылета вторичных релятивистских фрагментов оказываются довольно большими – это 10 – 30 мрд. Они достаточно точно могут быть в фотоэмulsionии измерены.

Ядро  ${}^{10}\text{B}$  имеет спин 3 и положительную четность. По представлениям оболочечной модели его структура имеет вид  $(1s)^4 (1p_{3/2})^6$ , т. е. 4 нуклона заполняют  $(1s)$  оболочку, а следующая оболочка заполнена не полностью. В ней полное число нуклонов равно 8 [4]. Наглядно ядро  ${}^{10}\text{B}$  можно представить как  ${}^8\text{Be} + ^2\text{H}$  или  ${}^8\text{Be} + ^1\text{H} + \text{n}$ . Мы увидим, что эти каналы фрагментации ядра  ${}^{10}\text{B}$  действительно имеют большие вероятности их наблюдения в сравнении с другими каналами фрагментации. Таким образом, можно ожидать, что  $\alpha$ -частичная структура ядра  ${}^{10}\text{B}$  в эксперименте должна проявляться.

Распад  ${}^8\text{Be} \rightarrow 2\alpha$  может происходить только из состояний  $0^+$  или  $2^+$ . Действительно, в [5] установлено, что основным состоянием ядра  ${}^8\text{Be}$  является состояние  $0^+$ , а первое возбужденное состояние с энергией 2.9 МэВ есть состояние  $2^+$ . Распады из этих состояний мы и можем наблюдать. Конечно, при фрагментации ядер  ${}^{10}\text{B}$  будут наблюдаться и события с двумя  $\alpha$ -частицами, вылетающими из него независимо друг от друга, без образования связанного состояния.

В первой части работы мы и рассмотрим вопрос о том, по какому критерию эти два типа событий могут быть отделены друг от друга, какими должны быть характеристики двух классов событий, да и сколько их должно наблюдаться в нашей экспериментальной выборке. Во второй части работы покажем, каким образом все это

может быть определено в эксперименте, и согласуется ли он с расчетом сделанным в первой части работы.

## 2. ПРЕДЕЛЬНАЯ ФРАГМЕНТАЦИЯ ЯДЕР $^{10}\text{B}$

Экспериментальные данные, полученные при изучении фрагментации различных релятивистских ядер при энергиях от 1 до 200 ГэВ на нуклон и ядер мишней при различных энергиях, согласуются с представлением о том, что процесс испускания фрагментов является быстрым и ядро остается холодным. Даже при сравнительно небольших энергиях релятивистских ядер оказывается справедливой гипотеза предельной фрагментации [6].

Существенно, что хотя гипотеза предельной фрагментации для адрон-адронных взаимодействий была сформулирована для бесконечного импульса, в ядерно-ядерных взаимодействиях она оказывается справедливой и при сравнительно небольшом импульсе на нуклон первичного ядра. Исходя из этих представлений можно предсказать количественные характеристики угловых и импульсных распределений фрагментов ядер в ядерно - ядерных взаимодействиях для любых комбинаций и энергий сталкивающихся ядер, а также и долю тех событий, в которых образование двух  $\alpha$ -частиц при фрагментации ядра  $^{10}\text{B}$  идет через канал  $^{8}\text{Be} \rightarrow 2\alpha$ . Для этого необходимо знать только величину граничного импульса Ферми, известного из экспериментов по рассеянию электронов на ядрах [7]. Но импульс Ферми для ядра  $^{10}\text{B}$  в эксперименте [7] не определялся. Мы его можем получить, если предположим, что фазовый объем ядра в основном состоянии есть произведение обычного его объема, определяемого радиусом ядра  $R = r_0 \cdot A^{1/3}$ , на объем пространства импульсов, определяемого граничным импульсом Ферми  $P_F = \sqrt{5} \cdot \sigma_0$ . Величина  $\sigma_0^2$  есть дисперсия импульсного распределения нуклонов в ядре  $^{10}\text{B}$  до его взаимодействия с ядром в фотоэмиссии. В каждом элементе этого объема  $\hbar$ , по принципу Паули, может находиться только 4 нуклона. Легко получаем [8], что  $r_0 \cdot \sigma_0 = 134.4 \text{ (МэВ/с)Фм}$ . При константе  $r_0 = 1.54 \text{ Фм}$ , известной из эксперимента [9] по определению радиуса ядра  $^{10}\text{B}$ , получаем, что импульс Ферми для него должен быть равен  $195.2 \text{ МэВ/с}$ , откуда следует, что величина, определяющая распределение импульсов нуклонов в ядре  $^{10}\text{B}$ , равна  $\sigma_0 = 87.3 \text{ МэВ/с}$ .

Парabolический закон Гольдхабер [10] устанавливает зависимость дисперсии  $\sigma_F^2$  импульсного распределения любого фрагмента с массовым числом  $A_F$  из любого ядра с массовым числом  $A_0$ , от дисперсии импульсного распределения нуклонов в этом ядре  $\sigma_0^2$ :

$$\sigma_F^2 = \sigma_0^2 \cdot \frac{A_F \cdot (A_0 - A_F)}{A_0 - 1}. \quad (1)$$

Используя этот закон, а также имея в виду, что

$$P_\perp = A_F \cdot P_0 \cdot \operatorname{tg} \theta, \quad (2)$$

где  $P_0 = 1.7 \text{ МэВ/с}$  импульс на нуклон ядра  $^{10}\text{B}$  в нашем эксперименте, получим, что константа, определяющая распределение углов  $\theta$  вылета  $\alpha$ -частиц должна быть равна  $\sigma_\theta = 21.0 \text{ мрд}$ . Их распределение должно следовать распределению Рэлея с этой константой. А распределение углов между парой частиц  $\theta_{12}$  в одном событии при

независимом разлете частиц должно следовать этому же распределению с дисперсией в два раза большей, чем дисперсия распределения одиночных частиц.

Угол  $\theta_{12}$  между следами частиц в событии должен быть выборкой из распределения Рэлея с константой, равной  $\sigma(\theta_{12}) = \sqrt{2} \cdot \sigma_\theta = 29.7$  мрд [11]. Отношение среднего поперечного импульса частиц в лабсистеме к среднему поперечному импульсу в СЦИ двух частиц должно быть равно  $\sqrt{2}$ .

Средний угол между двумя частицами, при независимом их разлете, в нашем эксперименте должен быть (в мрд)

$$\langle \theta_{12} \rangle = \sqrt{\pi/2} \cdot \sigma(\theta_{12}) = 37.2. \quad (3)$$

В нашем эксперименте углы вылета определяются по двум углам, равным углам между проекциями импульса на две взаимно перпендикулярные плоскости — на плоскость эмульсии (угол  $\varphi$ ), и на плоскость, перпендикулярную к ней (угол  $\alpha$ ). Если в каждом событии две частицы вылетают независимо друг от друга и оба угла  $\varphi$  и  $\alpha$  каждой частицы являются случайными выборками из нормального распределения с одной и той же дисперсией, то дисперсия суммы 4-х таких углов в каждом событии должна быть равна 4-м дисперсиям распределения этих углов, и поэтому

$$\sigma(\varphi_1 + \varphi_2 + \alpha_1 + \alpha_2) = 2\sigma_\theta. \quad (4)$$

Простейшей характеристикой двухчастичных корреляций частиц в поперечной плоскости является коэффициент азимутальной асимметрии  $A$ , определяемый как разность вероятности наблюдения разности азимутальных углов двух частиц  $\Delta\Psi$  больше чем  $90^\circ$  и меньше чем  $90^\circ$ :

$$A = \frac{N(\Delta\Psi > 90^\circ) - N(\Delta\Psi < 90^\circ)}{N(\Delta\Psi > 90^\circ) + N(\Delta\Psi < 90^\circ)}. \quad (5)$$

При независимом испускании частиц этот коэффициент должен быть равен нулю. Распределение по углам  $\Delta\Psi$  между векторами поперечных импульсов двух частиц в событии в этом случае должно быть равномерным. При распаде возбужденной системы на  $n$  частиц по фазовому объему, когда векторная сумма поперечных импульсов всех частиц в каждом событии равна нулю, неизбежно возникают кинематические корреляции в поперечной плоскости [12]. Коэффициент азимутальной асимметрии  $A$  в этом случае должен быть равен  $1/(n - 1)$ . При фрагментации ядра  $^{10}\text{B}$  полное число частиц  $n$  не может быть настолько велико, чтобы  $A$  не отличалось бы от нуля.

При распаде  $^8\text{Be}$  на две  $\alpha$ -частицы, если  $^8\text{Be}$  испущен из  $^{10}\text{B}$ , все разности азимутальных углов двух частиц должны быть меньше  $90^\circ$ . Коэффициент азимутальной асимметрии  $A$  для этих событий должен быть близок к  $-1$ . Это нам и предстоит проверить.

Теперь посмотрим, что будет, если события с двумя  $\alpha$ -частицами в нашем эксперименте идут через распад  $^8\text{Be} \rightarrow 2\alpha$ . Предположим, что процесс испускания  $^8\text{Be}$  ядром  $^{10}\text{B}$  идет как обычная фрагментация. Тогда поперечные импульсы ядра  $^8\text{Be}$  будут следовать распределению Рэлея, константу которого мы легко вычислим, зная импульс Ферми ядра  $^{10}\text{B}$ . Продольный импульс ядра  $^8\text{Be}$  практически не изменится и будет равен  $8P_0 = 13.6$  ГэВ/с. Значит, направление и импульс ядра, распадающегося

на-лету на две  $\alpha$ -частицы, нам известны. Кинетическая энергия каждой  $\alpha$ -частицы в системе покоя распадающегося ядра равна 45.96 кэВ. Угловое распределение их в СЦИ распадающегося ядра полагаем изотропным. Разыграв по Монте Карло угол частицы в системе покоя ядра  ${}^8\text{Be}$ , получаем импульс  $\alpha$ -частицы в лабсистеме и находим угол между частицами в каждом из событий. Моделированное таким образом распределение углов между частицами приведено на Рис. 1. Имеем резкий максимум в вероятности наблюдения этих углов при угле 5.45 мрд за счет того, что телесный угол при разлете двух  $\alpha$ -частиц под углом 90° в СЦИ распадающегося ядра значительно больше телесного угла при разлете их под нулевым углом с направлением импульса распадающегося ядра. При увеличении энергии первичной частицы форма этого распределения сохранится, но предельный угол станет меньше.

Таким образом, распределения углов между двумя  $\alpha$ -частицами при их независимом разлете из ядра  ${}^{10}\text{B}$  и при разлете из промежуточного основного состояния  ${}^8\text{Be}$  резко различаются. Это и дает возможность отделить события, идущие по каналу  ${}^{10}\text{B} \rightarrow {}^8\text{Be} \rightarrow 2\alpha + all$ , от событий, идущих по каналу  ${}^{10}\text{B} \rightarrow 2\alpha + all$ . Теперь посмотрим, как можно оценить долю каналов с  ${}^8\text{Be}$ .

Следуя процедуре, описанной в [13], будем считать, что в каждом фрагменте его заряд  $Z_i$  и массовое число  $A_i$  соответствуют стабильному или радиоактивному изотопу, точная величина массы которого известна. Чтобы из начального состояния первичного ядра  ${}^{10}\text{B}$  перейти на какое-то время  $\tau$  в состояние из данных к фрагментов в СЦИ этого ядра, необходимо затратить некоторую энергию  $\Delta E_k$ . Эта энергия будет состоять не только из разности суммы масс покоя всех фрагментов и массы первичного ядра, но еще из суммы средних кинетических энергий всех фрагментов в их СЦИ. А средние энергии фрагментов, зная импульс Ферми, мы легко можем вычислить.

Время пребывания в виртуальном состоянии  $\tau$  будет тем меньше, чем больше энергия  $\Delta E_k$ . А вероятность "застать" первичное ядро в виртуальном состоянии с дефицитом энергии  $\Delta E_k$  будет тем больше, чем больше время  $\tau$ .

Строгое математическое обоснование вычисления этой вероятности дает теория ДС [14]. В ней доказывается, что если последовательность состояний ДС инвариантна по отношению к сдвигу, то для множества этих состояний всегда можно ввести инвариантную нормированную гиббсовскую меру, которая по своей сути есть не что иное, как вероятность наблюдения этого состояния

$$W(T, \Delta E_k) = \frac{\exp(-\Delta E_k/T)}{\Xi}. \quad (6)$$

Это хорошо известное распределение Гиббса, где  $T = \sigma_0^2/m_N$  – "температура", т. е. величина, пропорциональная средней энергии конституентов, а  $\Xi$  – это статистическая сумма, равная сумме выражений в числителе по всем возможным состояниям.

Для легких ядер перечислить все возможные состояния первичного ядра не представляет труда. Для ядра  ${}^{10}\text{B}$  число всех возможных каналов фрагментации равно 73. После прямого вычисления статистической суммы, находим абсолютные вероятности всех каналов фрагментации. Наиболее вероятным оказывается канал фрагментации ядра  ${}^{10}\text{B} \rightarrow {}^4\text{He} + {}^6\text{Li}$  (19.73%), а следующий за ним по вероятности будет интересующий нас канал фрагментации на  ${}^8\text{Be}$  и дейтон (16.36%). Список первых 13 каналов,

по убыванию вероятности, приведен в Таблице 1. Каналы с большим числом фрагментов, конечно, оказываются маловероятными. Суммарная вероятность испускания  ${}^8\text{Be}$  из ядра  ${}^{10}\text{B}$  оказывается равной 19.7%.

Итак, выход ядер  ${}^8\text{Be}$  при фрагментации ядер  ${}^{10}\text{B}$  должен быть не мал. Доля событий с двумя двухзарядными частицами при фрагментации ядер  ${}^{10}\text{B}$  должна быть, по грубой оценке, около 20% от всех событий, в которых сумма зарядов фрагментов в событии равна заряду первичного ядра. А доля таких событий, среди всех событий, найденных по следу, в эксперименте [1] оказалась равной 10%.

### 3. ЭКСПЕРИМЕНТ

В данном эксперименте эмульсионная камера, состоящая из слоев эмульсии БР-2 размером  $10 \times 20 \text{ см}^2$  и толщиной 500 мкм была облучена на нуклotronе ЛВЭ ОИЯИ пучком ионов  ${}^{10}\text{B}$  вдоль слоя. Поиск событий осуществлялся просмотром по следу. Суммарная длина всех участков просмотренных первичных следов до неупругого взаимодействия с ядрами фотоэмульсии или до выхода из слоя равна 243 метра. На этой длине найдено 1823 неупругих взаимодействия. Т. о., средний пробег до взаимодействия равен  $13.3 \pm 0.3 \text{ см}$ . В 217 событиях, содержащих два двухзарядных фрагмента ядра  ${}^{10}\text{B}$ , были измерены координаты X, Y, Z в 11 точках через 100 мкм по оси X на обоих следах двухзарядных фрагментов и на следе первичной частицы. Если средние значения координат  $x, y, z$  равны  $\langle x \rangle, \langle a \rangle$ , где  $a = y, z$ , то оценка тангенса угла  $\varepsilon = \varphi$  (при  $a = y$ ) или тангенса угла  $\varepsilon = \alpha$  (при  $a = z$ ) будет равна

$$\tg \varepsilon = \frac{\langle x \cdot a \rangle - \langle x \rangle \cdot \langle a \rangle}{\langle x^2 \rangle - \langle x \rangle^2}. \quad (7)$$

Вычислив углы  $\varphi$  и  $\alpha$  для данного следа, мы имеем оценку угла  $\theta$ :

$$\tg \theta = \sqrt{\tg^2 \varphi + \tg^2 \alpha}. \quad (8)$$

Ошибка измерения угла между частицами в интервале 3–8 мрд оказалась около 1.5 мрд. Таким образом, в интересующей нас области углов между  $\alpha$ -частицами (порядка 5 мрд) точность наших измерений вполне достаточна для того, чтобы установить наличие интересующего нас явления распада  ${}^8\text{Be}$  на две  $\alpha$ -частицы из основного состояния, если мы будем считать, что события с углами  $\theta_{12} < 8.5 \text{ мрд}$  как раз и относятся к этому каналу.

Несмотря на то, что точности измерения координат по осям Y и Z различны, параметры распределений углов  $\varphi$  и  $\alpha$  оказались практически одинаковы. Оба распределения, как и ожидалось, согласуются с гипотезой выборки их из нормального распределения с константой, вычисленной из радиуса ядра  ${}^{10}\text{B}$ .

На Рис. 2 приведены функция ожидаемого нормального распределения углов частиц со средним, равным нулю, и стандартным отклонением 21 мрд, вычисленным из величины константы для радиуса ядра  ${}^{10}\text{B}$  (плавная кривая), и эмпирические функции распределения углов  $\varphi$  и  $\alpha$ , полученные в эксперименте. Обратим внимание, что плавная кривая Рис. 2 не есть подгонка экспериментальных распределений этих углов. Она была получена до проведения эксперимента.

Сумма квадратов разностей по вертикали между плавной кривой и эмпирической функцией распределения дает величину  $\omega^2$  (критерий Крамерса-Мизеса), которая

может быть использована для проверки гипотезы согласия эмпирической функции распределения с нормальным распределением. По нашим данным, на 1% доверительном уровне, эта гипотеза принимается как для углов  $\varphi$ , так и для углов  $\alpha$ .

Этот результат находится в полном согласии с тем, что было получено в работе [1]. Там экспериментальная величина среднего поперечного импульса дейтонов равна  $140 \pm 10$  МэВ/с. А если оценить ее из величины  $r_0 = 1.54$  Фм, то она должна быть равна 145 МэВ/с. Как видим, это неплохое согласие.

Величина  $x = \varphi_1 + \varphi_2 + \alpha_1 + \alpha_2$  для данной выборки событий распределена нормально, со стандартным отклонением  $\sigma_x(\text{exp}) = 39.7 \pm 2,7$  мрд. Таким образом, угловые корреляции частиц в событии не обнаруживаются в эксперименте.

Но тогда вполне естественно, что распределение углов  $\theta$  хорошо согласуется с гипотезой их выборки из распределения Рэлея. Это означает, что и распределение углов  $\theta_{12} = x$  между парами  $\alpha$ -частиц при независимом их разлете должно иметь плотность распределения

$$f(x, \sigma) = \frac{x}{\sigma^2} \cdot \exp(-x^2/2\sigma^2), \quad (9)$$

и функцию распределения

$$F(x, \sigma) = 1 - \exp(-x^2/2\sigma^2). \quad (10)$$

Для оценки параметра  $\sigma$  этого распределения из эксперимента надо исключить углы  $\theta_{12}$  меньше некоторой величины  $x(\text{min})$ , так как мы ищем небольшое превышение над этим распределением в области именно малых углов  $\theta_{12}$  за счет каналов, содержащих  ${}^8\text{Be} \rightarrow 2\alpha$ . Надо исключить и углы  $\theta_{12}$  больше некоторой величины  $x(\text{max})$ , так как там могут быть редкие события совсем другой природы, например, перерассеяние частиц в конечном состоянии.

Тогда функция правдоподобия для распределения Релея обрезанного слева и справа будет иметь вид:

$$L = \prod_{i=1}^{i=N} f(x_i, \sigma) F[x(\text{min})], \sigma) (1 - F[x(\text{max})], \sigma). \quad (11)$$

Для нахождения оценки интересующего нас параметра  $\sigma$  надо решить нелинейное уравнение, которое получится, если мы приравняем нулю производную от логарифма написанной функции правдоподобия. Это довольно просто решается процедурой из MATHCAD-8 [15].

Зависимость логарифма функции правдоподобия от параметра  $\sigma$  приведена на Рис.3. Максимум  $L$  для данной выборки достигается при  $\sigma = 31,7 \pm 2,0$  мрд. По этому рисунку можно судить и о величине доверительного интервала оценки параметра. Т. о., экспериментальная оценка параметра распределения угла между двумя частицами, при исключении из выборки углов между ними от распада  ${}^8\text{Be} \rightarrow 2\alpha$ , практически совпадает с ожидаемой величиной этого параметра при независимом разлете двух частиц.

Так как мы имеем в эксперименте в основном периферические взаимодействия первичных ядер с ядрами в фотоэмulsionии, то переданный первичному ядру как целому мал. Переданный поперечный импульс еще и делится между вторичными фрагментами в соответствии с их массами. Поэтому в эксперименте мы его практически не видим.

Коэффициент азимутальной асимметрии для всех событий в эксперименте равен  $0.05 \pm 0.03$ , а для событий с  $\theta_{12} < 8.5$  мрд он оказался равным  $-0.96 \pm 0.04$ . Это означает, что для всех событий корреляции направлений поперечных импульсов отсутствуют, а для событий, связанных с распадом  ${}^8\text{Be} \rightarrow 2\alpha$ , эти корреляции велики.

Наконец, в эксперименте наблюдается 33 события с углом  $\theta_{12} < 8.5$  мрд (вместо 36 ожидаемых событий). Это означает, что в данном эксперименте вероятность наблюдения ядра  ${}^8\text{Be}$  при фрагментации ядра  ${}^{10}\text{B}$  равна  $18 \pm 3\%$ , вместо ожидаемых 19.7% в расчете.

Если наблюдаемые нами события с  $\theta_{12} < 8.5$  мрд действительно генерируются каналом  ${}^8\text{Be} \rightarrow 2\alpha$ , то эмпирическая функция распределения углов  $\theta_{12}$  этих 33-х событий должна совпадать с предполагаемой функцией распределения этих углов в этом канале. Плотность распределения таких углов приведена на Рис.2.

Для проверки этой гипотезы использовались три непараметрических критерия согласия. Критерий согласия Колмогорова [16] состоит в том, что максимальное отклонение  $D$  эмпирической функции распределения от предполагаемой теоретической функции распределения при их согласии на 1% уровне значимости не может превосходить 1.63. В эксперименте  $D = 0.32$ .

Второй, более сильный, но редко используемый экспериментаторами критерий связан с суммой  $V = V^+ - V^-$ , равной разности между двумя функциями распределения в одну, и в другую сторону. Это критерий Куипера [17]. Критическое значение его на том же доверительном уровне есть 2.0. В эксперименте  $V = 0.88$ . Аналогичный результат получен и при использовании третьего, уже упоминавшегося критерия Крамерса-Мизеса (см. Таблицу 2).

Это значит, что по всем трем критериям согласия гипотеза о том, что наша выборка из 33 углов  $\theta_{12} < 8.5$  мрд имеет функцию распределения углов между частицами в процессе  ${}^8\text{Be} \rightarrow 2\alpha$  не отвергается. Рис. 4 это иллюстрирует.

#### 4. ЗАКЛЮЧЕНИЕ

Основные результаты данной работы суммированы в Таблице 2. Все предсказания, полученные до эксперимента, подтверждены. Выход фрагментов  ${}^8\text{Be}$  при фрагментации релятивистского ядра  ${}^{10}\text{B}$  действительно составляет около 2% от всех событий, найденных по следу в фотоэмulsionии, или около 20% от тех событий, в которых сумма зарядов вторичных фрагментов равна заряду первичного ядра.

Индивидуальные события, содержащие две  $\alpha$ -частицы от распада  ${}^8\text{Be}$  в продуктах фрагментации релятивистских ядер в этом эксперименте обнаружены впервые. При фрагментации релятивистских ядер углерода и кислорода с импульсом 4.1 ГэВ/с на 3 и 4 двухзарядных фрагмента [18,19], наблюдаемые в эксперименте особенности распределений азимутальных углов между фрагментами хорошо согласуются с расчетами доли ядер  ${}^8\text{Be}$  в них [20]. Она оказалась равной, примерно, 30%. Вероятно, что в легких ядрах с хорошо выраженной  $\alpha$ -частичной структурой эти частицы образуют Бозе конденсат, резонансно взаимодействуют друг с другом, и мы видим ядро  ${}^8\text{Be}$ . А так как время жизни этого промежуточного состояния велико в сравнении с ядерным временем, то в звездах, когда водород сгорает и концентрация гелия увеличивается, оно начинает играть важную роль в нуклеосинтезе. В частности, через

поглощение нейтрона, образуется изотоп  ${}^9\text{Be}$ , по концентрации которого в звездах шаровых скоплений впервые экспериментально был определен возраст нашей Галактики [21]. Так что экспериментальные данные о выходе ядер  ${}^8\text{Be}$  при фрагментации легких ядер могут быть востребованы.

Конечно, результаты, приведенные в таблице 2 получены при многих явных и неявных предположениях. Они могут быть истолкованы как косвенное их доказательство. Так, можно считать, что импульс Ферми ядра  ${}^{10}\text{B}$  действительно равен 195 МэВ/с, а константа импульсного распределения нуклонов в этом ядре около 90 МэВ/с. Атомное ядро действительно можно рассматривать как динамическую систему, и все общие закономерности теории ДС к нему применимы. Это дает возможность сделать предсказания, которые, как мы видели, эксперимент подтверждает.

Термодинамический формализм содержится в теории ДС. Поэтому обычно используемый язык термодинамики, с понятиями энергии возбуждения ядра, температуры возбужденного ядра и т. д., вполне пригоден для феноменологического описания явления фрагментации. Однако за десятилетия использования этого формализма до сих пор еще не удалось с его помощью получить какие-либо предсказания. Очевидно, что дальнейшие исследования процесса фрагментации ядер надо, в основном, направить на поиски отклонений от предсказаний этой простой картины фрагментации ядер. Теперь, когда мы представляем эту картину в общих чертах, можно углубиться в ее детали.

Авторы выражают благодарность сотрудничеству BECQUEREL за облучение эмульсии и предоставление возможности выполнения работы, ЛВЭ ОИЯИ за прекрасную химическую обработку эмульсии, Л. Н. Ткач за просмотр и измерение событий, использованных в этой работе.

## СПИСОК ЛИТЕРАТУРЫ

1. М. И. Адамович и др., *ЯФ* **67**, 533(2004).
2. V. Bradnova et al., *Yad. Phys.* **66**, 1646(2003).
3. М. И. Адамович и др., Письма в ЭЧАЯ **N 2[177]**, 29(2003).
4. А. С. Давыдов, *Теория атомного ядра* ( Физматгиз, Москва, 1958) с. 607.
5. J. A. Wheeler, *Phys. Rev.* **52**, 16(1941).
6. J. Benecke, T. T. Chou, C. N. Yang, E. Yen., *Phys. Rev.* **188**, 2159(1969).  
Р. Фейнман, *Взаимодействие фотонов с адронами* ("Мир", Москва., 1975) с. 381.  
R. P. Feynman, *Photon-hadron interactions* (California Institute of Technology,  
1972, Benjamin, Inc. Reading, Massachusetts.)
7. E. J. Monitz at al., *Phys. Rev. Lett.* **26**, 445(1971).
8. F. G. Lepikhin, D. M. Seliverstov, B. B. Simonov, *Eur. Phys. J.* **A1**, 137(1998).
9. Дж. Блатт и В. Вайскопф, *Теоретическая ядерная физика* (ИЛ, Москва, 1954) с. 653.  
J. M. Blatt, V. F. Weisskopf, *Theoretical Nuclear Physics* (New-York-London, 1952).
10. J. S. Goldhaber, *Phys. Lett.* **B 53**, 306(1974).
11. Ф. Г. Лепехин, Б. Б. Симонов, Письма в ЖЭТФ **58**, 493(1993).
12. С. А. Азимов и др., *Множественные процессы при высоких энергиях*  
( "ФАН"УзССР, Ташкент, 1976) с. 120.
13. Ф. Г. Лепехин, Письма в ЭЧАЯ **N 3[112]**, 25(2002).
14. Я. Г. Синай, *Динамические системы-2* ( ВИНТИ, Москва, 1985) т. 2, с. 306.
15. В. Дьяконов, *MATHCAD 8/2000: специальный справочник*

- ("Питер", С.-Петербург, 2001) с. 582.
16. W. T Eadie et al., *Statistical Methods in Experimental Physics*  
(North-Holland Publishing Company, Amsterdam, London, 1971).
17. К. Мардия, *Статистический анализ угловых наблюдений* ("Наука", Москва, 1978) с. 236.  
K. V. Mardia, *Statistics of Directional Data* ( Acad. Press, London and New-York, 1972).
18. В. В. Белага и др., *ЯФ* **59**, 869(1996).
19. Ф. А. Аветян и др., *ЯФ* **59**, 110(1996).
20. F. G. Lepekhin, O. V. Levitskaya, B. B. Simonov, *PNPI Research Report 1998-1999*  
(Russian Acad. of Sciences B. P. Konstantinov Petersburg Nucl. Phys. Institute,  
Gatchina, 2000) p. 165.  
Prerint 2313, PNPI(Leningrad, 1999).
21. Eur. South. Obs., Press Release 20/04 *How Old is the Milky Way?*  
(<http://www.eso.org/outreach/press-rel/pr-2004/pr-20-04.html>)

## **Yields of ${}^8\text{Be}$ fragmenta in the ${}^{10}\text{B}$ fragmentation in photoemulsion at an energy of 1 GeV per nucleon**

© F.G. Lepekhin and B.B.Simonov

*St. Petersburg Nuclear Physics Institute, St. Petersburg , Gatchina, Russia*

It is shown that the channel fraction  ${}^{10}\text{B} \rightarrow {}^8\text{Be} \rightarrow 2\alpha$  is estimated to be  $18 \pm 3$  percent and the distribution constants for the angles of alpha particles and the angles between them equal to  $20.5 \pm 0.7$  and  $31.7 \pm 2.0$  mrd, respectively, are in agreement with these quantities calculated prior to experiment on the basis of the limiting fragmentation of relativistic nucleus.

Таблица 1

Вероятности каналов фрагментации ядра  $^{10}\text{B}$ .

пор. $N$	вер. набл. $W, \%$	на что фрагм. $^{10}\text{B} \rightarrow$
1	19.73	$^4\text{He} + ^6\text{Li}$
2	16.36	$^2\text{H} + ^8\text{Be}$
3	15.29	$P + ^9\text{Be}$
4	12.19	$N + ^9\text{B}$
5	8.80	$^5\text{He} + ^5\text{Li}$
6	4.43	$^2\text{H} + 2 ^4\text{He}$
7	3.83	$^3\text{He} + ^7\text{Li}$
8	3.43	$^3\text{H} + ^7\text{Be}$
9	3.37	$N + P + ^8\text{Be}$
10	3.02	$P + ^4\text{He} + ^5\text{He}$
11	2.65	$N + ^4\text{He} + ^5\text{Li}$
12	0.91	$N + P + 2 ^4\text{He}$
13	0.76	$^3\text{H} + ^3\text{He} + ^4\text{He}$

Таблица 2

**Вычисленные и экспериментальные  
значения различных величин,  
характеризующих фрагментацию ядра  $^{10}\text{B}$**

пор. $N$	название.величины	выч. знач.	получ. в эксп.
1	попер. имп. $\langle P_{\perp} \rangle$ $^{2}\text{H}$ , МэВ/с	145	$(140 \pm 10)^*$
2	конст. норм. распр. $\sigma(\varphi) = \sigma(\alpha)$ мрд	21.011	$20.5 \pm 0.7$
3	конст. распр. Релея $\sigma(Rel, \theta_{12})$ мрд	29.714	$31.7 \pm 2.0$
4	средняя. велич. $\langle \theta_{12} \rangle$ мрд	37.22	$34.6 \pm 2.2$
5	$\sigma(\varphi_1 + \varphi_2 + \alpha_1 + \alpha_2)$ мрд	42.0	$39.7 \pm 2.7$
6	число соб. $N(\theta_{12} < 8.5)$	36	33
7	вер. набл. $W_{obs}(^{8}\text{Be} \rightarrow 2\alpha)$ %	19.7	$18 \pm 3$
8	кэфф. азим. асим. А для всех	0	$0.05 \pm 0.03$
9	кэфф. азим. асим. А для $^{8}\text{Be} \rightarrow 2\alpha$	-1.0	$-0.96 \pm 0.04$
10	ср. угол $\langle \theta_{12} \rangle$ для $\theta_{12} < 8.5$ мрд	6.3	$5.6 \pm 1.0$
11	коэффиц. согл. Д КОЛМ.	1.63	0.32
12	коэффиц. согл. В КУИП	2.0	0.88
13	коэффиц. согл. по крит. $\omega^2$	0.743	0.304

\*) получено в эксперименте [1].

## Подписи под рисунками к работе Ф. Г. Лепехина и Б. Б. Симонова

**Рис. 1.** Распределение углов  $\theta_{12}$  между следами  $\alpha$ -частиц при распаде  ${}^8\text{Be}$  из ядра  ${}^{10}\text{B}$  с импульсом  $1.7 \text{ ГэВ}/c$  для 2500 событий, разыгранных по Монте Карло.  $N$  – это число событий на интервал  $\Delta\theta = 0.5 \text{ мрд}$ .

**Рис. 2.** Плавной кривой изображено ожидаемое нормальное распределение. Эмпирическая функция распределения углов  $\varphi$  обозначена звездочками \*. Эмпирическая функция распределения углов  $\alpha$  обозначена кружками о.

**Рис. 3.** Зависимость логарифма функции правдоподобия от параметра  $\sigma$ . Горизонтальная линия, проведенная через точку  $\ln(L) = -1$ , если спроектировать точки ее пересечения с кривой на ось X, дает величину доверительного интервала параметра на доверительном уровне 68.3 процента.

**Рис. 4.** Эмпирическая функция распределения  $F(X) = F(\theta_{12} < X)$  33-х углов (о). Точки – это предполагаемая функция распределения углов  $\theta_{12}$  в процессе  ${}^8\text{Be} \rightarrow 2\alpha$ .

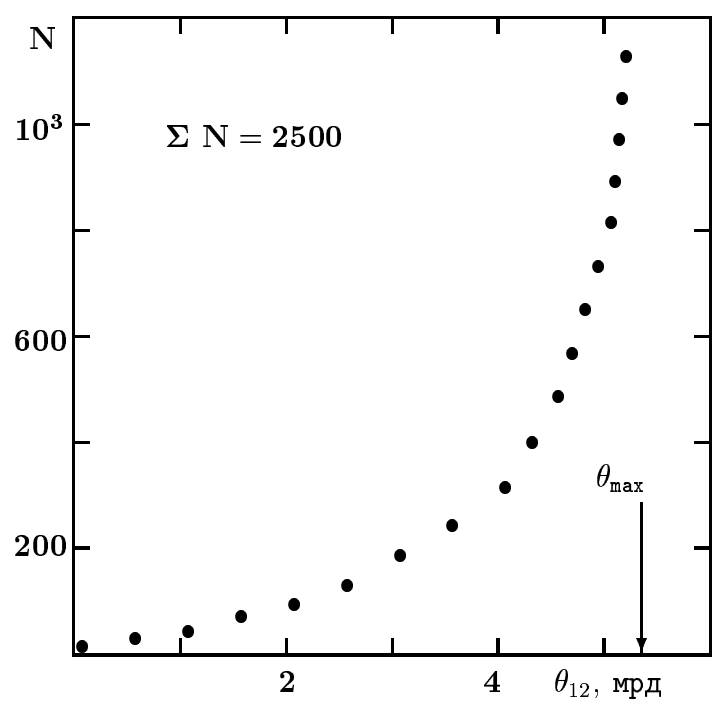


Рис. 1 К работе Ф. Г. Лепехин и Б. Б. Симонов

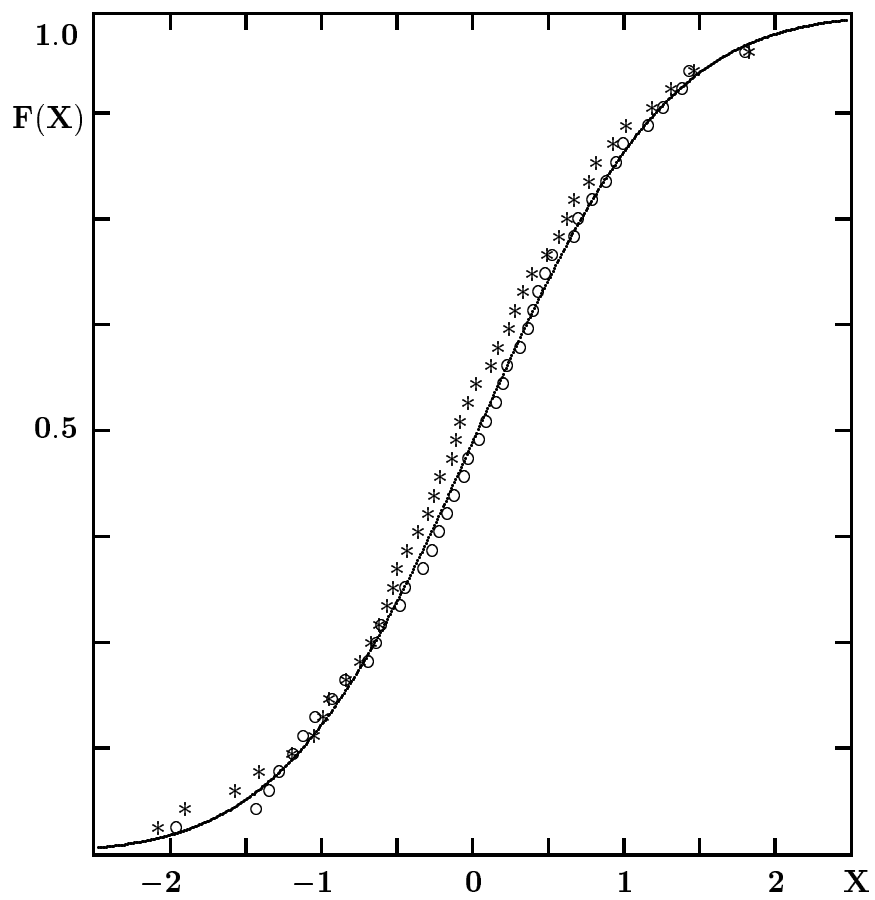


Рис. 2 К работе Ф. Г. Лепехин и Б. Б. Симонов

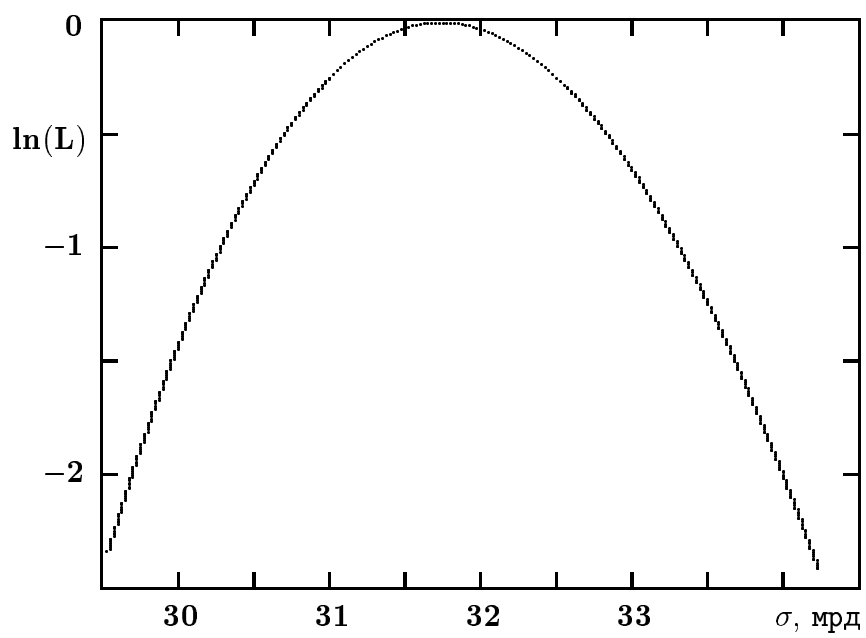


Рис. 3 К работе Ф. Г. Лепехина и Б. Б. Симонова

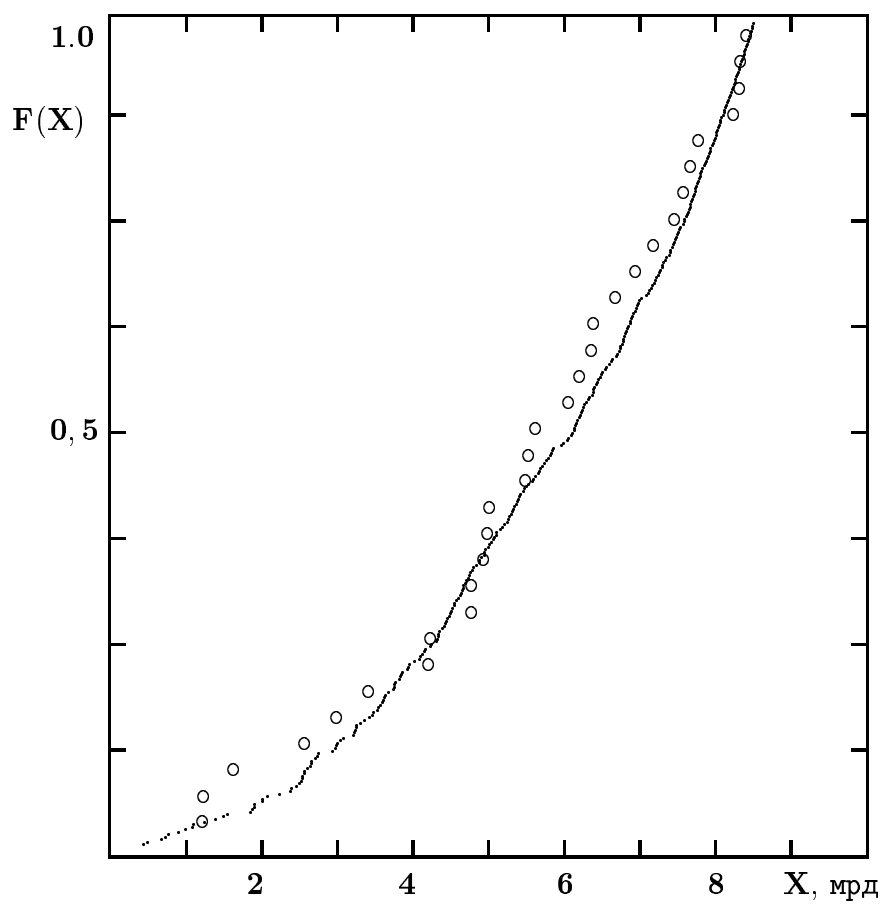


Рис. 4 К работе Ф. Г. Лепехина и Б. Б. Симонова